

GaNAs 的声子拉曼散射研究 *

江德生 孙宝权 谭平恒

(中国科学院半导体研究所,超晶格与微结构国家重点实验室,北京,100083)

李连和 潘 钟

(中国科学院半导体研究所,光电子工艺中心,北京,100083)

摘要 对分子束外延生长的GaNAs外延层进行了拉曼散射研究,观测到了由于导带中的 E_+ 态所引起的共振散射和由此产生的布里渊区非 Γ 点声子的拉曼峰。清晰地观测到了随氮含量增大,氮在GaAs中的局部模振动演变为GaNAs中的类GaN晶格声子带模。通过样品在850度快速热退火前后拉曼谱的对比,推测性地指认了两个与氮的成对或成团效应有关的振动峰。

关键词 GaNAs, 拉曼散射, 局域模振动。

PHONON-INDUCED RAMAN SCATTERING IN GaNAs *

JIANG De-Sheng SUN Bao-Quan TAN Ping-Hen

(NLSM, Institute of Semiconductors, CAS, Beijing 100083, China)

LI Lian-He PAN Zhong

(NCPT, Institute of Semiconductors, CAS, Beijing 100083, China)

Abstract The Raman scattering spectra of MBE-grown GaNAs epilayers were investigated. The resonant enhancement of Raman scattering due to the E_+ states in the conduction band was observed and the Raman peaks related to the phonons at non- Γ points of the Brillouin Zone were detected. It was clearly seen that the local vibrational mode induced by nitrogen impurities evolves to the GaN-like lattice phonon mode when the nitrogen content increases. By comparing the Raman spectra measured before and after 850°C rapid thermal annealing, it was tentatively suggested that two weak peaks were induced by the pairing or clustering effect of nitrogen.

Key words GaNAs, Raman scattering, local vibrational mode.

引言

近年来,利用分子束外延或金属氧化物化学气相沉积成功地制备出窄带隙的GaNAs和InGaNAs固溶体薄膜材料,它们在以GaAs为基的近红外光电子学中有重要的应用前景。其中,GaAs中掺少量N形成GaNAs后,禁带宽度将迅速减小^[1]。N在体GaAs中的平衡溶解度很小,在非平衡生长的外延GaNAs中N含量可大大提高。氮的引入使GaAs禁带宽度迅速减小,并有可能出现氮的配对及成团效应,引起缺陷^[2]。GaNAs外延层中氮的状态及其对能带结构的影响是一个重要研究课题。我们研究了在非共振及共振条件下分子束外延生长的GaNAs

拉曼光谱及其与氮含量的关系,观测到了与 E_+ 态有关的共振,测到了一些在非共振条件下难以测出的弱峰,并测量了退火前后的变化,以便对峰的起源给予指认。

1 实验

拉曼测量主要是对在(100)取向GaAs衬底上生长的GaNAs外延层进行的,样品是用等离子辅助的分子束外延方法生长的,厚度约为0.25μm,其中N含量为约0.05%~5%。GaNAs层上方一般有50nm厚的GaAs复盖层。部分样品在N气氛中进行了不同温度条件下的快速热退火处理。拉曼散射测量采用背散射配置,除了514.5nm(绿光)的非共

* 国家自然科学基金(编号29890217)资助项目

稿件收到日期 2000-08-14,修改稿收到日期 2000-11-13

* The project supported by the National Natural Science Foundation of China (No. 29890217)

Received 2000-08-14, revised 2000-11-13

振激发以外,还采用了波长为 632.8nm 和 676.4nm(红光,接近 $E_+ - \Delta_c$ 共振, Δ_c 为价带的自旋轨道分裂能量)等激光谱线进行了近共振激发,以研究共振行为和提高弱拉曼峰的探测灵敏度。

2 结果和讨论

图 1 是 3 块氮含量不同的样品的非共振拉曼散射光谱,激光波长为 514.5nm, $E_{ex} = 2.41\text{eV}$ 。由图可知,氮含量为 0.05% 的样品其拉曼谱与一般 GaAs 体材料的拉曼谱基本一致,未观测出与 Ga—N 键有关的振动峰。在另外两块 GaNAs 固溶体样品中同时观测到类 GaAs 和类 GaN 振动模,表明 GaNAs 的声子具有双模行为^[4]。GaNAs 中测量到的类 GaAs 模 LO_1 声子与 GaAs 衬底和 GaAs 复盖层中的 LO 声子模位置相近,部分发生重叠。其频率与体 GaAs 晶体中的声子频率相差不大。但由于合金无序的作用,动量选择规则放松,在(100)方向背散射组态测量中, LO 和 TO 声子峰都能观测到。这两个声子峰的相对强度在不同样品中有着相当大的变化,说明由于合金无序,动量选择规则已大大放松。同时,在压应力作用和合金效应的联合作用下,

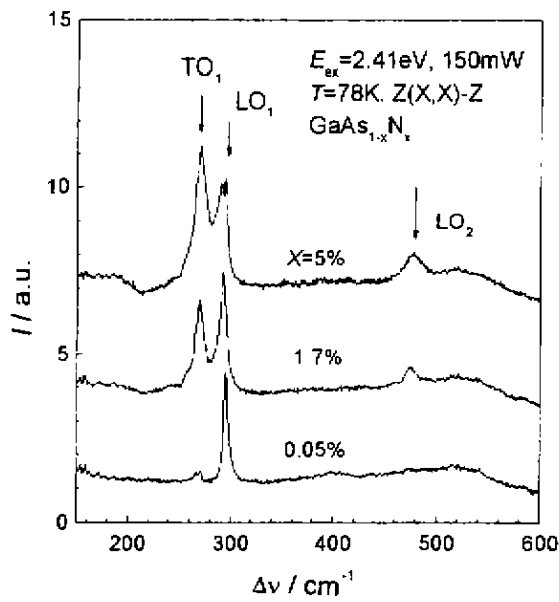


图 1 3 个氮组份不同的样品的非共振拉曼散射光谱,激发光波长为 514.5nm ($E = 2.41\text{eV}$),图中 LO_1 、 TO_1 、 LO_2 分别表示类 GaAs LO 、 TO 声子和类 GaN LO 声子

Fig. 1 Off-resonance Raman spectra of 3 samples with different N content, the wavelength of incident light is 514.5nm. LO_1 , TO_1 , LO_2 represent GaAs-like LO and TO phonons, and GaN-like LO phonon, respectively

GaNAs 中类 GaAs 的 LO 声子(LO_1 声子)频率向低频方向移动。类 GaN 模 LO_2 声子位于约 473cm^{-1} 附近,其峰宽和积分面积随氮含量增多而增大。

GaNAs 的拉曼散射可在多种条件下共振加强,反映了半导体中声子振动和电子态的互作用。共振拉曼散射的中间态是一个电子实跃迁。GaNAs 中的共振拉曼散射除了通常的 E_+ 共振和 $E_+ + \Delta_c$ 共振(Δ_c 为价带的自旋轨道分裂能量)以外,还有 E_- 共振^[4]。最近的研究表明, E_+ 态是由于氮引起的对称性破缺在 GaNAs 导带中产生的电子态,是导带内 $\Gamma - X$ ^[5] 或 $\Gamma - L$ 混合的结果。在样品 9105(氮含量为 0.7%) 的光反射调制光谱中(见图 2 右上角插图),我们可以看到除了在 $E = 1.42\text{eV}$ GaAs 导带底 E_c 临界点的信号以外,在 1.25eV 和 1.58eV 处分别有 GaNAs E_c 和 $E_c + \Delta_c$ 两个临界点的信号。相应地,样品的 E_+ 态位于约 1.82eV 处^[4]。事实上,在室温下

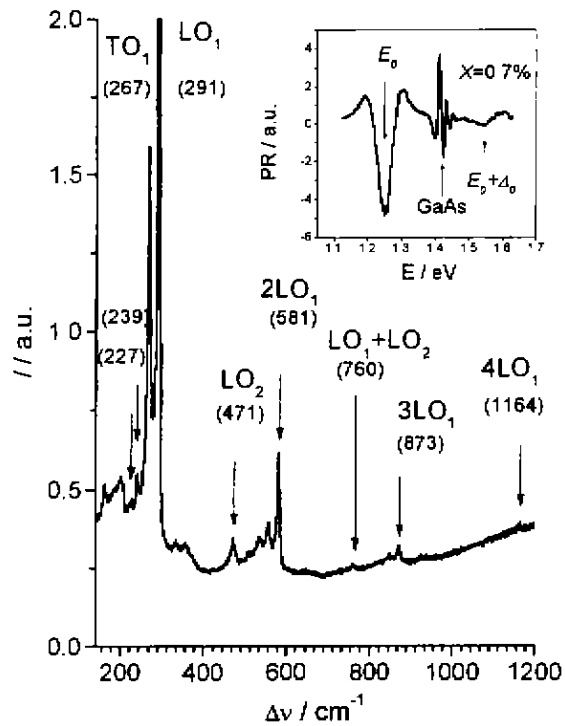


图 2 氮含量为 0.7% 的 GaNAs 样品的室温共振拉曼散射谱,激发光波长为 632.8nm (1.96eV),右上角插图是同一样品的光反射(PR)调制光谱,示出了 GaNAs 样品 E_c 和 $E_c + \Delta_c$ 临界点的能量位置

Fig. 2 Room temperature spectrum of resonant Raman scattering from the GaNAs sample containing 0.7% nitrogen, the wavelength of incident light is 632.8nm (photon energy 1.96eV), the inset indicates photoreflection (PR) spectrum of the same sample, showing the energy position of E_c and $E_c + \Delta_c$ critical points

用 632.8nm 激光($E_{\text{ex}}=1.96\text{eV}$)激发确实观测到了类 GaAs 和类 GaN 模的共振加强, 所得光谱如图 2 所示。这种共振是一种出射共振, 即入射光子能量大致相当于电子实跃迁能量加上声子能量。从图 2 可以看出, 在近共振条件下, 光谱中除了晶格声子的一级拉曼峰大大加强以外, 还可看到高价声子拉曼峰及一些在非共振条件下测不到的、有待指认的弱峰。在氮含量为 0.7% 的样品中, 可看到类 GaAs LO 声子峰(LO_1)的高阶拉曼峰, 最高到四级峰。图中拉曼位移 $\Delta\nu$ 位于 851cm^{-1} 、 873cm^{-1} 和 1164cm^{-1} 处的峰分别是 LO_1 的二阶、三阶和四阶拉曼峰, 位于 760cm^{-1} 的峰被指派为 $\text{LO}_1 + \text{LO}_2$ 的二阶拉曼峰。二阶以上拉曼散射的动量选择规则与一阶拉曼散射不同, 不单有 Γ 点声子参加, 还有布里渊区其他点的声子的贡献, 只要参加拉曼散射的声子波矢之和为零, 散射就是容许的。图中二阶拉曼谱峰的线形反映了声子的态密度分布, 同时, 我们发现其频率随温度的变化几乎是一阶拉曼峰的两倍。在低频区, 我们发现有几个弱峰在 N 含量不同的 GaNAs 样品中都出现。其中, 频率为 239 和 227cm^{-1} 的峰被指认为类 GaAs 的 $\text{LO}(L)$ 和 $\text{LA}(X)$ 声子峰。由于 E_- 态是 Γ

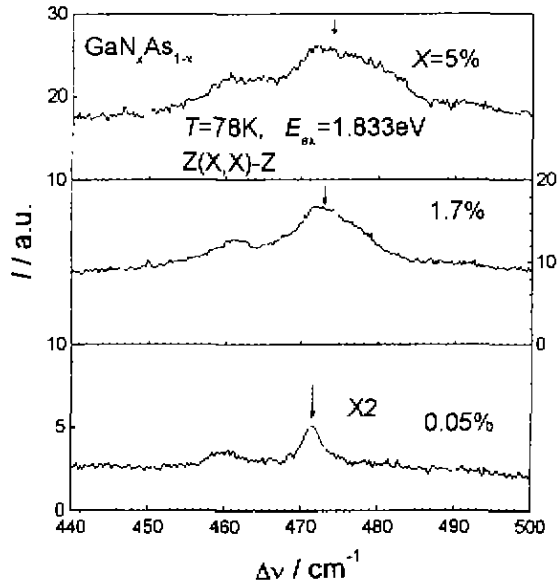


图 3 3 个氮组份不同的样品的共振拉曼散射光谱, 激发光波长为 676.4nm , 当氮组份 x 为 0.05% 时, 在 471cm^{-1} 处的锐峰(用箭头示出)是由 N 杂质在 GaAs 中的局域模引起的

Fig. 3 Resonant Raman spectra of 3 samples with different N content x , the wavelength of incident light is 676.4nm (photon energy 1.833eV), for the sample with nitrogen content of 0.05% the sharp peak (shown by the arrow!) at 471cm^{-1} is induced by local vibrational mode of N impurity in GaAs

$-X$ 混合的结果, 在拉曼散射谱中出现布里渊区 L 点和 X 点声子峰的共振加强是可以理解的。

我们在几个含氮量不同样品的共振拉曼谱中在 470cm^{-1} 处附近都观测到了与 Ga—N 键有关的振动峰。图 3 是 78K 下用 676.4nm ($E_{\text{ex}}=1.833\text{eV}$) 激光激发得到的拉曼光谱。在 GaAs 中当 N 的含量很低时($x=0.05\%$), 在 1.833eV 激光的激发($E_{\text{ex}}+\Delta$, 共振)下可以清晰地观测到 470cm^{-1} 处锐峰, 频率与用红外吸收在掺 N 的 GaAs 中测到的局域模频率一致^[6], 该拉曼峰的半高宽很小(约 3cm^{-1})。我们指认该峰为 N 杂质局域模引起的。此时, N 在 GaAs 中浓度还足够小, 还是“杂质态”而未形成固溶体。当 N 含量增高到 1.7% 和 5% 时, 拉曼峰(接近 E_- 共振)的半高宽产生非常明显的增大(约达 12cm^{-1}), 其频率随 N 组分增加向高频方向有微小移动。这表明, 随 N 浓度的增大, N 的掺入所引起的振动, 已从 N 的杂质局域模振动转变成为 GaNAs 固溶体晶格的带模振动(LO_2)。由于外延层很薄, 低浓度 N 杂质引起的局域模振动的红外吸收测量是很难的。但在共振拉曼散射中这种振动模式得到加强, 因而可清晰地加以辨认。

在用等离子辅助分子束外延方法生长的 GaNAs 样品中, 当含氮量较高时, 在拉曼位移 $\Delta\nu$ 为 410cm^{-1} 和 424cm^{-1} (比 LO_2 声子带频率略低) 处观测到了两个拉曼峰, 它们的强度随 N 组份的增大而增大, 其频率随温度升高所产生的红移与高阶声子

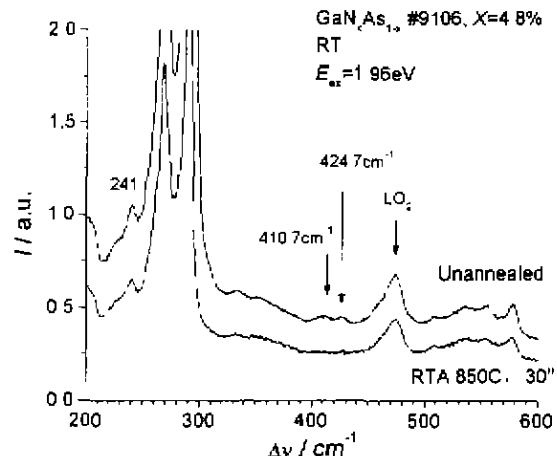


图 4 氮含量为 4.8% 的 GaNAs 样品在 850C 快速热退火 30s 前后的室温共振拉曼散射谱, 激发光波长为 632.8nm
Fig. 4 Room temperature spectra of resonant Raman scattering from the GaNAs sample with nitrogen content of 4.8% before and after the 850C rapid thermal annealing (RTA) for 30s , respectively, the wavelength of incident light is 632.8nm

拉曼散射峰不同(比 $2LO_1$ 峰小),因而可能是与成对或形成团簇的氮键振动有关.为了进一步检验 410cm^{-1} 和 424cm^{-1} 峰的起源,我们测量了GaNAs外延层退火前后的拉曼光谱.对GaNAs层进行快速热退火处理的退火温度等于和低于 700°C (简称“低温退火”)时,样品在退火后光致发光强度得到很大增强,表明样品中离子轰击产生的结构缺陷通过退火被逐步消除^[7],但我们发现,样品的拉曼散射光谱在退火后基本不变,所观测到的拉曼峰都仍存在.但当退火温度进一步升高时,拉曼光谱中有些峰变弱以至消失.图4是一个氮含量为4.8%的GaNAs样品在 850°C 退火30s前后的拉曼光谱,从图中可以看到,在退火后,大部分拉曼峰基本不变,而位于 410cm^{-1} 和 424cm^{-1} 处的两个峰则在退火后消失.这表明,这两个峰不是用低温退火可以消除的一般结构缺陷(生长过程中离子轰击所形成的点缺陷)所引起的.另一方面, 850°C 退火样品的光致发光表明,退火后由于氮和砷的互扩散,发光峰的位置一般发生蓝移^[7].这表明,在高温下退火,GaNAs中的晶格原子发生固相自扩散的几率增大.因而, 410 和 424cm^{-1} 处拉曼峰消失,很可能是成对或成团的N原子在高温下移动及分解所致.

3 结语

总的来说,本工作中我们利用灵敏度比较高的近共振拉曼散射研究了GaNAs薄外延层在退火前后的振动模式,观测到了由于导带中的 E_- 态所引

起的共振散射和由此产生的布里渊区非 Γ 点声子的拉曼峰.清晰地观测到了随氮含量增大、氮在GaAs中的局域模振动演变为GaNAs中的类GaN晶格带模,并推测性地指认了与氮的成对效应有关的振动峰.

REFERENCES

- [1]Bellaiche L, Wei S H, Zunger A. Localization and percolation in semiconductor alloys: GaAsN vs GaAsP, *Phys. Rev. B*, 1996, **54**: 17568—17576
- [2]Francouer S, Nikishin S A, Jin C, et al. Excitons bound to nitrogen clusters in GaAsN, *Appl. Phys. Lett.*, 1999, **75**(11): 1538—1541
- [3]Prokofyeva T, Sauney T, Seon M, et al. Raman studies of nitrogen incorporation in GaAsN, *Appl. Phys. Lett.*, 1998, **73**(10): 1409—1411; Minatairov A M, Blagnov P A, Melehin V G, et al. Ordering effects in Raman spectra of coherently strained GaAsN, *Phys. Rev. B*, 1997, **56**(24): 15836—15841
- [4]Cheong H M, Zhang Y, Mascarenhas A, et al. Nitrogen-induced levels in GaAsN studied with resonant Raman scattering, *Phys. Rev. B*, 2000, **61**(20): 13687—13689
- [5]Jones E D, Modine N A, Allerman A A, et al. Band structures of InGaAsN alloys and effects of pressure, *Phys. Rev. B*, 1999, **60**(7): 4430—4433
- [6]Alt H, Wiedemann C H, Bethge B K. Spectroscopy of nitrogen-related centers in GaAs, *Material Science Forum*, 1997, **258~263**: 867—872
- [7]Li L H, Pan Z, Zhuang W, et al. Effects of rapid thermal annealing on the optical properties of GaNAs/GaAs single quantum well structure grown by molecular beam epitaxy, *Jour. Appl. Phys.*, 2000, **87**: 245